

DETECTIERAPPORT FIETSBRUG CUIJK-MOOK

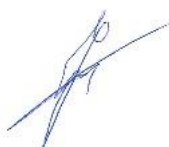


Opdrachtgever	Gemeente Cuijk
Documentcode	1556108-DR-01
Aantal pagina's	23 (inclusief bijlagen)
Datum:	12-10-2015
Versie	Definitief

Opsteller:
 Dhr. H. van Driel
 Coördinator OCE

Vrijgegeven door:
 Dhr. M. Jochoms
 Senior OCE-deskundige
Paraaf

Geaccordeerd:
 Dhr. J.W.J de Beer
 Manager OCE
Paraaf




INHOUDSOPGAVE

1	WERKZAAMHEDEN	3
1.1	OMSCHRIJVING EN DOELSTELLING VAN DE OPDRACHT	3
1.2	DETECTIEMETHODE	4
1.2.1	Oppervlakedetectie met een multi-sensor systeem met GPS	4
1.2.2	Analyse en interpretatie van verzamelde meetdata	4
2	ONDERZOEKSRESULTATEN	7
2.1	INTERPRETATIE VAN DE MEETGEGEVENS	7
2.2	AANBEVELING	7
3	BIJLAGEN	8
3.1	OVERZICHTSTEKENING ONDERZOEKSGBIED	8
3.2	OBJECTENLIJSTEN	8



1 WERKZAAMHEDEN

1.1 OMSCHRIJVING EN DOELSTELLING VAN DE OPDRACHT

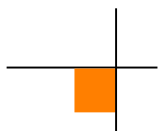
In het kader van de aanleg van een fietsbrug heeft de Gemeente Cuijk opdracht gegeven aan AVG Explosieven Opsporing Nederland om een detectieonderzoek uit te voeren in het project Fietsbrug Cuijk-Mook.

De aanleiding is een vooronderzoek van AVG met kenmerk: 1562058-VO-02. Hierin wordt aangegeven dat er naar alle waarschijnlijkheid explosieven uit de Tweede Wereldoorlog aanwezig kunnen zijn in en nabij het onderzoeksgebied.

Het doel van het onderzoek is het in kaart brengen van ijzerhoudende objecten in de ondergrond van het opsporingsgebied en hiervan aan te geven welke objecten een magnetische opbouw hebben die overeenkomt met de opbouw van een explosief en/of munitie.

De omschrijving en doelstelling van de opdracht is in navolgend schema weergegeven:

Projectnaam:	Detectieonderzoek Fietsbrug Cuijk-Mook
Gemeente:	Cuijk
Projectadres:	Mariagaarde 24, Katwijk
Besteknr/projectnummer	Z/C/14/06301 – UIT/C/15/31571
Werkomschrijving	Detecteren van het onderzoeksgebied
Doelstelling	Middels oppervlakedetectie tot 4,5m –mv vaststellen of er metaalhoudende voorwerpen aanwezig zijn welke mogelijk conventionele explosieven betreffen
Vooronderzoek - Bedrijf	AVG, 1562058-VO-02
Aan te treffen explosieven	KKM, hand- en geweergranaten, geschutmunitie vanaf kaliber 20mm en afwerpmunitie.



1.2 DETECTIEMETHODE

1.2.1 Oppervlakedetectie met een multi-sensor systeem met GPS

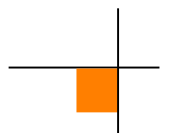
Voorafgaand aan de detectie is vastgesteld welke meetmethode het meest geschikt is voor het opsporingsgebied. De validatie vond plaats op basis van: de materiaalsoort van mogelijk aan te treffen explosieven (ferro- of non-ferrometalen), locatiespecifieke informatie omtrent terrein- en bodemgesteldheid, aanwezige boven- en ondergrondse infrastructuur in het opsporingsgebied. Op grond van de beschikbare informatie bleek oppervlakedetectie met een multi-sensorsysteem de meest geschikte meetmethode.

Het multi-sensorsysteem is een samenvoeging van 4 magnetometers samen met een GPS ontvanger gekoppeld aan een datalogger en gemonteerd op een rijdbaar frame. Het opsporingsgebied wordt (afhankelijk van de grootte) vooraf ingedeeld in een aantal zoekvelden, welke systematisch worden ingereiden. Het systeem wordt achter een trekker door het terrein voortbewogen. Magnetometers meten verstoringen van het aardmagnetisch veld die worden veroorzaakt door ferro-metalen. De mogelijk aan te treffen explosieven bevatten allen ferro-metalen (ijzerhoudende metalen). Tijdens de metingen worden aan gedetecteerde anomalieën direct GPS/RD coördinaten gekoppeld. De meetgegevens van de 4 magnetometers zijn opgeslagen in een datalogger waarna de gegevens in een later stadium zijn verwerkt in een speciaal voor dit doel ontwikkeld computerprogramma. De effectieve zoekdiepte van dit multi-sensorsysteem is (afhankelijk van de omgevingsfactoren) maximaal 4,5 meter –MV.

1.2.2 Analyse en interpretatie van verzamelde meetdata

Magnetische polarisatie van ferro-metalen hebben afhankelijk van hun grootte, invloed op krachtlijnen van het aardmagnetisch veld waardoor het verloop van deze krachtlijnen verandert. De meetdata is geanalyseerd met het evaluatieprogramma EVA 2000 wat resulteert in een overzicht van metingen van het aardmagnetisch veld en hierin aanwezige afwijkingen. Door het evaluatieprogramma kunnen anomalieën als significant worden aangemerkt. Dit wordt weergegeven in een aantal abstracte parameters die betrekking hebben op o.a. het magnetisch volume, de ligging en diepte van de verstoring t.o.v. het maaiveld en GPS/RD-coördinaat.

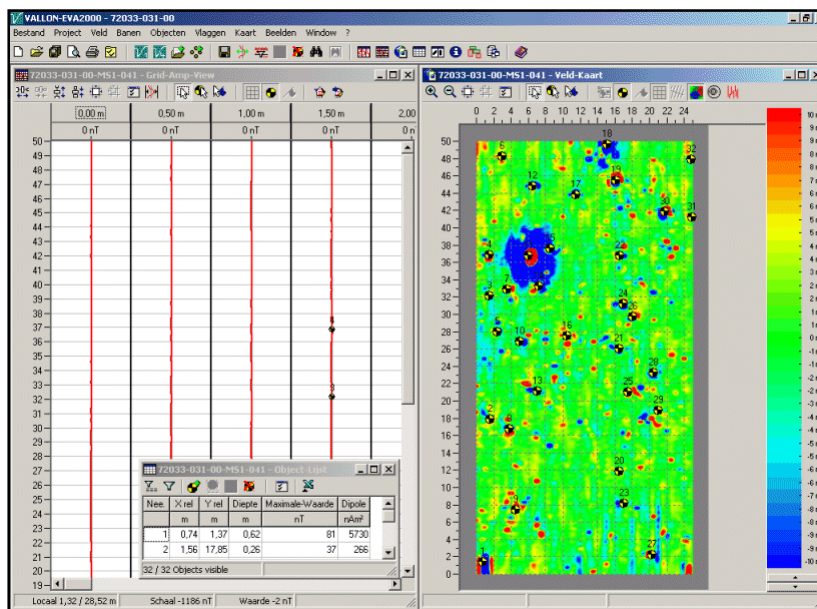
Deze abstracte gegevens van de anomalieën worden vervolgens door de senior OCE deskundige, stuk voor stuk, geïnterpreteerd. Bij de interpretatie van de meetgegevens wordt de onderlinge samenhang van de verschillende parameters met elkaar vergeleken en gezocht naar verstoringen die overeenkomsten vertonen met verstoringen zoals veroorzaakt door te verwachten explosieven. Hierbij moet ook rekening worden gehouden met specifieke (omgevings-) factoren die sterke invloed op de uitgevoerde metingen kunnen hebben zoals bijv. aanwezige bouw- en hekwerken en/of kabels en leidingen. De verdachte objecten werden opgenomen in objectlijsten ondervermelding van o.a. GPS/RD coördinaat, diepteligging, magnetisch volume.



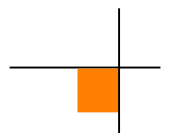
De opgenomen data is verwerkt in het ondersteunende softwarepakket: Vallon EVA 2000, versie 2.35. Na verwerking in het evaluatieprogramma zijn vele verstoringen geconstateerd. De verstoringen zijn daarna geïnterpreteerd. Voor het bepalen van de interpretatiecriteria is gebruik gemaakt van de aangeleverde gegevens uit het vooronderzoek met kenmerk 1562058-VO-02. Met deze conclusie uit het vooronderzoek is het onderzoeksgebied geïnterpreteerd met een nano-tesla waarde van 10 tot 100 nT op explosieven vanaf het kaliber 20mm. Bij de interpretatie van de gegevens worden de, door EVA, aangewezen verdachte objecten door de (senior) OCE-deskundige afzonderlijk geïnterpreteerd, rekeninghoudend met de navolgende factoren:

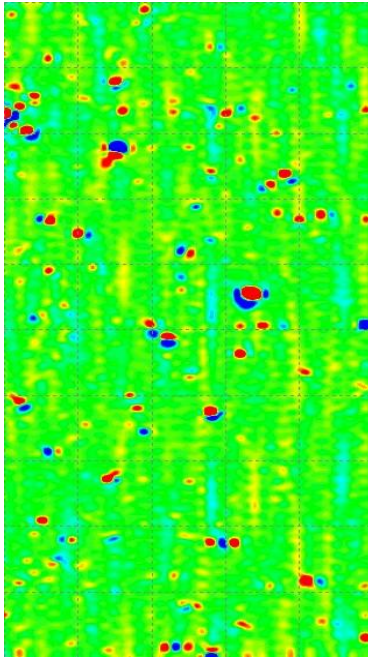
- de diepteligging van het object. Deze beïnvloedt het magnetisch veld en de magnetische waarde (d.w.z. hoe dieper het object ligt, hoe kleiner de meetwaarde);
- de hoek waaronder het object ligt. Wanneer een object bijvoorbeeld vrijwel verticaal in de bodem staat, wordt vaak alleen een + of – gemeten. Door de hoek meet men tevens een kleine afwijking, dat in de praktijk echter wel degelijk groot kan blijken te zijn;
- de omgevingsfactoren van het object. Zo kunnen in de nabijheid liggende versturende elementen de meting beïnvloeden waardoor de wiskundige berekeningen worden beïnvloed.

De combinatie van de diepteligging, de maximale nT-waarde, het magnetisch moment en de fitting-area (oppervlakte waarbinnen het object is gedetecteerd) is van invloed op het bepalen of een object als verdacht wordt aangemerkt. Bijvoorbeeld een object met een ondiepe ligging, een hoge nT-waarde en lage fitting-area kan duiden op een niet-verdacht object. Er bestaat geen “perfecte” combinatie tussen deze waarden. Immers, als deze had bestaan zouden dankzij het softwareprogramma enkel en alleen munitieartikelen benaderd worden. Helaas laat de praktijk zien dat het merendeel van de verdachte objecten geen munitieartikel is.

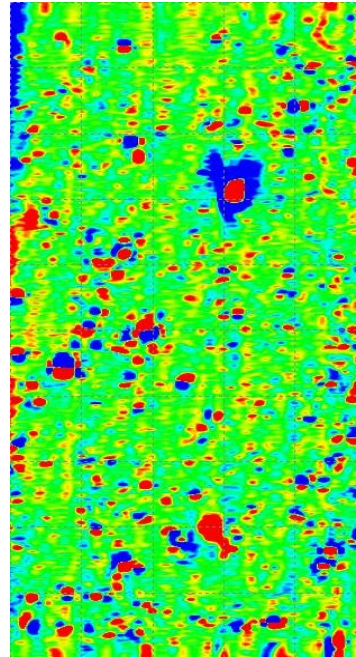


Afb.2 - Een voorbeeld van het evaluatieprogramma Vallon EVA2000.





Afb.3- Voorbeeld meetveld met weinig verstoringen



Afb.4 Voorbeeld meetveld met veel verstoring

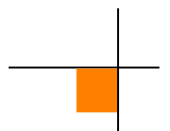
Bovenstaande veldkaarten laat de digitale opname met rode en blauwe kleuren zien. De rode kleur geeft de positieve magnetische veldlijnen weer. De negatieve magnetische veldlijnen worden als blauw weergegeven. Afhankelijk van de magnetische polarisatie zal ijzerhoudend materiaal (zoals een vliegtuigbom) het verloop van deze magnetische veldlijnen veranderen. Met behulp van formules kan het EVA evaluatieprogramma de afwijkingen van het magnetisch veld berekenen.

De geregistreeerde ferromagnetische verstoringen worden veroorzaakt door ijzerhoudende objecten. Gedetecteerde objecten kunnen van voor, tijdens of na de Tweede Wereldoorlog zijn. Daarnaast kunnen ze een menselijke of natuurlijke oorsprong hebben. Het is dus niet met zekerheid te zeggen dat de ferromagnetische verstoringen veroorzaakt worden door explosieven.

Voorbeelden van oorlog gerelateerde objecten zijn: Afwerpmunitie (vliegtuigbommen), geschutsmunitie, mortiermunitie, raketten en geleide wapens, Klein Kaliber Munitie (KKM), hulzen, handgranaten, geweergranaten, explosieve stoffen en pyrotechnische middelen, mijnen, onderdelen van militair materieel en/of structuren, uitrusting.

Voorbeelden van niet-oorlog gerelateerde objecten zijn: Resten van hekwerken, prikkeldraad, spijkers, ploegscharen, drainage, achtergelaten objecten door derden etc.

Voorbeelden van objecten met een natuurlijke oorsprong zijn: IJzer(oer), in laagtes worden deze soms als laag aangetroffen, kleine bolletjes van een paar millimeter tot enkele centimeters, Mangaan, komt hier en daar voor, bevat ijzer en vele andere metalen, kleine bolletjes van een paar millimeter tot enkele centimeters.



2 ONDERZOEKSRISULTATEN

2.1 INTERPRETATIE VAN DE MEETGEGEVENS

Het, door de opdrachtgever aangegeven, opsporingsgebied is afgezocht met een multisensorsysteem, type Vallon. Het opsporingsgebied ter grootte van 3,5 ha. is door AVG ten behoeve van de detectie verdeeld in een aantal meetvelden (zie overzichttekening).

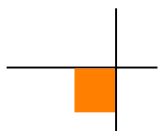
De hierbij verzamelde meetdata is door de senior OCE deskundige geanalyseerd en geïnterpreteerd m.b.v. het programma EVA 2000. Na analyse van de detectie data zijn totaal 532 verdachte verstoringen gelokaliseerd. Deze verstoringen zijn in objectlijsten weergegeven (zie bijlage) en moeten benaderd en geïdentificeerd worden om het gedetecteerde gebied vrij te kunnen geven van munitie en/of explosieven.

Er is een gebied van totaal 4.945m² zwaar verstoord. Bij de kruising met de Mariagaarde is dit te verklaren door de aanwezigheid van een stalen hogedruk gasleiding. Verder is de bodem bij de spoorbrug zwaar verstoord.

2.2 AANBEVELING

AVG adviseert voorafgaand aan bodempenetrerende werkzaamheden de gelokaliseerde **532** verdachte verstoringen te benaderen en te identificeren, waarna zekerheid kan worden gegeven over de aard en herkomst van de objecten. Nadat de objecten zijn geïdentificeerd worden deze veiliggesteld of verwijderd zodat het opsporingsgebied kan worden vrijgegeven van munitie en/of explosieven tot 4,50m –mv.

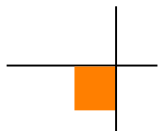
Voor de verstoorde gebieden adviseert AVG deze gecontroleerd te ontgraven middels laagsgewijze ontgraving waarbij elke laag van ca. 30cm gedetecteerd en benaderd wordt. Dit proces zal herhaald moeten worden totdat reguliere detectie mogelijk is.



3 BIJLAGEN

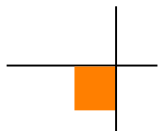
3.1 OVERZICHTSTEKENING ONDERZOEKSGEBIED

3.2 OBJECTENLIJSTEN

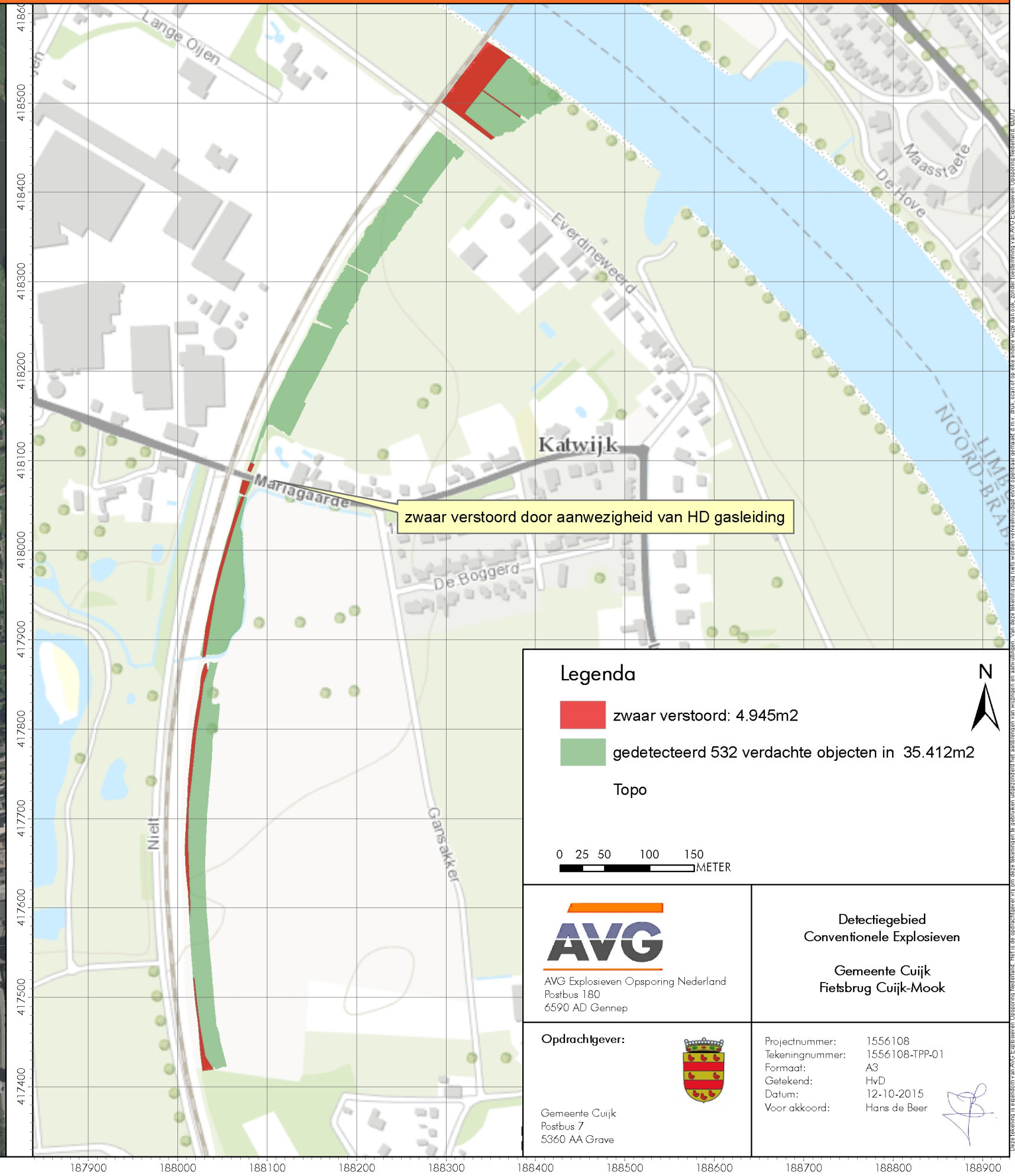




Bijlage 3.1. Overzichtstekening



DETECTIEONDERZOEK CONVENTIONELE EXPLOSIEVEN - FIETSBRUG CUIJK-MOOK



zwaar verstoord door aanwezigheid van HD gasleiding

Legenda

- zwaar verstoord: 4.945m²
- gedetecteerd 532 verdachte objecten in 35.412m²

Topo



AVG Explosieven Opsporing Nederland
Postbus 180
6590 AD Genneep

Detectiegebied
Conventionele Explosieven

Gemeente Cuijk
Fietsbrug Cuijk-Mook

Opdrachtgever:



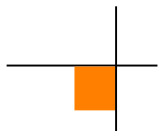
Gemeente Cuijk
Postbus 7
5360 AA Grave

Projectnummer: 1556108
Tekeningnummer: 1556108-TPP-01
Formaat: A3
Getekend: HvD
Datum: 12-10-2015
Voor akkoord: Hans de Beer

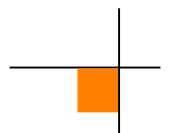
Deze tekening is vervaardigd door AVG Explosieven Opsporing Nederland. Het is de opdrachtgever of zijn dienovernemen de gebruiker aansprakelijk te houden voor het gebruik van deze tekening. Het is de opdrachtgever of zijn dienovernemen de gebruiker aansprakelijk te houden voor het gebruik van deze tekening. Het is de opdrachtgever of zijn dienovernemen de gebruiker aansprakelijk te houden voor het gebruik van deze tekening.



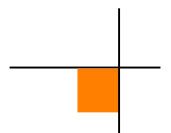
Bijlage 3.2. Objectlijsten



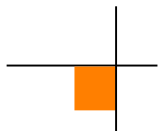
Nr.	Easting	Northing	Diepte	Max-Waarde	Magn. Moment	LSQ	Fit-Area	Opmerking
4	188383.69	418542.74	0.62	42	0.351	5.0	3.48	
10	188427.55	418507.28	0.54	204	0.529	14.3	5.05	
14	188377.15	418545.29	0.54	242	1.460	20.9	4.41	
16	188420.51	418512.85	1.05	81	2.449	9.6	17.62	
19	188395.53	418531.68	1.43	44	2.572	4.1	5.15	
20	188405.13	418524.00	1.80	308	22.054	41.7	27.98	
23	188387.21	418537.40	1.34	35	15.613	16.4	15.58	
24	188390.39	418534.17	0.79	852	5.567	123.9	20.90	
25	188402.31	418525.02	1.03	308	3.159	14.1	27.10	
26	188399.94	418526.72	0.86	217	1.297	34.0	26.70	
28	188396.97	418528.58	1.90	51	3.001	7.9	8.96	
31	188393.03	418533.56	1.00	363	2.191	6.5	11.03	
36	188426.59	418505.31	0.74	1509	10.456	177.3	27.62	
37	188397.35	418526.40	0.80	39	0.336	7.8	2.11	
39	188393.33	418528.36	1.05	16	0.204	1.6	1.81	
41	188424.31	418503.05	0.67	1490	6.783	111.4	25.60	
43	188414.64	418508.50	0.33	237	0.173	5.9	4.08	
46	188378.28	418534.95	0.67	23	0.086	1.9	1.39	
47	188399.66	418518.43	0.70	23	0.092	2.4	1.47	
52	188375.83	418533.22	0.53	107	0.319	4.2	4.49	
54	188413.23	418502.15	0.31	116	0.099	3.4	3.23	
55	188387.45	418521.57	3.48	1514	1.122.651	324.2	58.94	
57	188372.57	418530.33	0.45	56	0.124	1.9	3.67	
61	188405.91	418502.13	0.28	69	0.079	4.6	2.06	
63	188395.85	418509.94	1.59	16	1.563	2.4	10.82	
65	188405.91	418500.68	0.42	33	0.061	3.2	2.14	
68	188410.79	418494.69	0.34	39	0.045	5.1	1.95	
77	188369.01	418521.16	0.50	43	0.096	5.1	3.03	
78	188405.81	418490.97	0.42	51	0.065	3.9	2.15	
82	188392.74	418498.67	0.35	28	0.047	2.1	1.52	
83	188404.88	418488.88	0.26	29	0.029	2.4	2.39	
86	188367.41	418514.92	0.37	168	0.217	5.8	4.49	
87	188362.82	418518.53	0.28	33	0.035	3.6	2.32	
89	188364.52	418516.63	0.28	52	0.034	5.3	4.94	
91	188358.54	418519.81	0.49	37	0.116	3.0	3.89	
93	188384.93	418499.52	0.44	38	0.100	2.8	2.63	
94	188375.45	418506.31	0.38	23	0.031	1.7	1.43	
96	188380.15	418502.50	0.33	66	0.064	2.8	2.47	



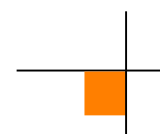
Nr.	Easting	Northing	Diepte	Max-Waarde	Magn. Moment	LSQ	Fit-Area	Opmerking
97	188363.14	418515.46	0.52	44	0.084	5.1	4.37	
110	188388.02	418493.43	0.35	104	0.090	8.6	2.63	
115	188356.93	418513.70	1.19	25	0.591	4.2	5.79	
116	188374.12	418501.33	0.35	203	0.326	5.7	8.44	
117	188365.67	418507.66	0.26	48	0.032	3.6	1.61	
127	188359.14	418509.53	0.34	189	0.151	8.9	4.40	
133	188354.96	418510.20	0.37	82	0.089	10.8	8.04	
136	188350.43	418513.32	0.36	84	0.101	2.9	2.72	
137	188356.87	418508.30	0.53	55	0.128	6.4	3.05	
139	188352.98	418510.87	0.47	42	0.106	8.6	2.55	
140	188352.32	418510.44	0.58	42	0.123	6.7	6.33	
145	188367.76	418497.52	0.29	84	0.060	9.6	1.67	
147	188354.97	418506.89	0.44	19	0.045	1.9	1.05	
154	188372.33	418488.84	0.41	1172	1.659	30.7	13.55	
161	188350.24	418500.57	0.49	28	0.075	1.9	2.72	
162	188344.61	418504.36	0.26	1863	1.478	92.4	3.60	
165	188356.29	418492.17	0.48	38	0.094	4.2	3.17	
168	188347.26	418496.58	0.29	66	0.043	7.7	2.69	
169	188362.14	418484.65	0.33	45	0.045	3.0	2.33	
174	188356.17	418485.86	0.44	202	0.427	14.5	4.34	
176	188348.52	418491.01	0.31	22	0.028	1.3	1.37	
184	188339.57	418495.92	1.40	54	2.616	5.7	20.72	
185	188346.53	418491.16	0.37	28	0.030	3.2	1.30	
187	188351.20	418486.67	0.48	67	0.157	2.9	3.93	
191	188358.92	418480.12	0.20	59	0.030	3.0	1.45	
192	188367.82	418473.07	0.29	56	0.030	2.6	0.90	
194	188354.41	418483.05	0.32	76	0.097	5.7	2.80	
195	188346.34	418489.10	0.30	120	0.115	7.4	7.99	
199	188342.47	418491.86	0.35	69	0.069	9.8	8.07	
211	188364.70	418470.11	0.57	23	0.088	3.7	1.57	
212	188350.32	418480.90	0.19	80	0.033	2.4	2.24	
215	188348.89	418479.92	0.36	688	1.273	146.9	6.45	
216	188347.37	418482.99	0.34	38	0.028	1.8	0.72	
222	188343.13	418484.63	0.42	36	0.111	3.0	1.28	
229	188337.62	418487.54	0.24	81	0.045	4.2	2.55	
230	188348.80	418478.55	0.42	947	1.854	68.6	3.40	
234	188342.32	418482.44	0.64	33	0.191	5.2	4.38	
235	188338.73	418484.34	0.37	59	0.071	3.9	4.19	
236	188341.39	418482.58	0.58	33	0.180	4.4	4.94	
237	188350.83	418475.58	0.33	158	0.203	16.0	6.09	



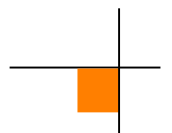
Nr.	Easting	Northing	Diepte	Max-Waarde	Magn. Moment	LSQ	Fit-Area	Opmerking
241	188343.18	418479.42	0.35	58	0.071	5.8	3.32	
244	188330.48	418488.68	0.40	28	0.046	3.5	2.19	
254	188342.49	418476.37	0.32	27	0.032	2.9	1.74	
255	188333.56	418482.76	0.40	619	0.993	51.6	4.08	
256	188335.39	418480.69	0.27	55	0.029	6.3	2.35	
263	188333.96	418480.27	0.55	46	0.175	9.8	6.51	
271	188342.04	418472.91	0.24	41	0.028	2.8	1.32	
272	188345.88	418470.52	0.35	82	0.079	7.3	2.44	
279	188399.81	418522.23	1.24	23	1.159	5.3	3.75	
280	188353.92	418522.67	0.23	138	0.072	6.9	1.78	
281	188341.25	418484.92	0.47	96	0.232	15.4	2.26	
282	188341.61	418486.00	0.40	238	0.290	9.2	2.98	
283	188426.92	418503.90	0.31	144	0.208	31.5	1.91	



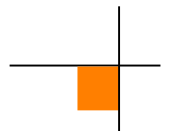
Nr.	Easting	Northing	Diepte	Max-Waarde	Magn. Moment	LSQ	Fit-Area	Opmerking
14	188312.10	418439.16	0.31	60	0.058	3.2	2.12	
17	188311.64	418448.43	0.90	91	0.540	7.9	9.97	
32	188309.76	418451.89	0.45	50	0.127	18.9	6.91	
34	188303.73	418436.71	0.52	76	0.303	3.7	5.75	
37	188306.85	418446.33	0.76	96	0.866	8.6	9.40	
39	188304.01	418438.96	0.26	284	0.131	7.6	4.40	
42	188307.33	418449.04	0.28	407	0.588	16.5	3.60	
44	188299.69	418429.20	0.60	43	0.166	3.7	5.08	
45	188307.16	418451.36	0.92	32	0.397	4.9	3.93	
47	188300.63	418431.96	0.39	32	0.066	3.7	3.19	
53	188296.24	418424.28	0.93	28	0.298	3.6	4.52	
56	188305.45	418449.48	0.41	26	0.054	2.8	2.06	
75	188301.16	418441.73	0.28	23	0.047	5.1	1.94	
84	188300.90	418445.30	0.35	65	0.075	3.0	2.88	
98	188293.03	418426.59	1.62	33	4.675	4.7	17.96	
100	188297.51	418443.64	0.44	98	0.284	10.8	6.14	
102	188296.31	418440.67	0.39	89	0.077	4.7	3.38	
111	188296.25	418443.87	0.41	208	0.432	20.2	4.94	
114	188298.10	418450.45	0.34	579	0.902	33.2	7.98	
116	188291.83	418432.31	0.65	50	0.187	7.5	3.67	
117	188297.73	418448.74	0.36	22	0.081	6.0	1.54	
118	188297.62	418456.95	3.06	33	15.716	6.5	4.42	
119	188296.67	418447.96	0.75	49	0.380	7.1	4.37	
123	188292.24	418435.08	0.54	49	0.130	4.9	3.97	
135	188290.59	418438.47	0.41	89	0.316	11.9	3.77	
139	188290.72	418435.37	0.30	73	0.046	5.9	2.56	
141	188292.65	418442.05	0.80	72	0.474	10.5	5.28	
142	188297.51	418454.58	0.76	431	2.390	59.8	5.39	
149	188296.99	418456.34	0.77	74	1.226	16.8	6.99	
155	188286.98	418429.19	0.84	177	1.700	32.6	6.45	
159	188285.65	418425.77	0.41	300	0.613	7.5	5.80	
160	188293.88	418450.61	0.40	62	0.134	9.7	10.23	
163	188295.45	418453.35	0.36	514	0.780	72.5	13.31	
169	188286.30	418429.43	0.63	177	0.968	36.7	6.45	
173	188279.21	418410.10	0.32	33	0.052	3.4	2.14	
174	188292.04	418446.10	0.67	84	0.600	6.2	9.53	
175	188298.10	418463.73	0.11	172	0.037	34.5	0.58	
178	188290.81	418443.31	0.62	25	0.087	4.5	1.85	



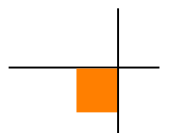
Nr.	Easting	Northing	Diepte	Max-Waarde	Magn. Moment	LSQ	Fit-Area	Opmerking
179	188287.26	418433.92	0.53	54	0.192	4.5	4.20	
183	188294.14	418454.93	0.53	136	0.532	35.1	5.50	
185	188295.22	418458.67	0.77	614	5.765	41.1	12.05	
186	188289.10	418443.02	0.49	262	0.756	26.2	6.07	
187	188276.03	418403.78	0.32	68	0.053	2.4	0.76	
190	188288.12	418438.89	0.30	278	0.218	11.1	6.75	
195	188295.12	418457.87	0.78	504	3.117	59.2	6.91	
198	188295.15	418462.87	1.41	15	1.237	4.6	1.37	
203	188268.47	418384.76	0.39	24	0.050	2.4	2.12	
206	188280.63	418420.96	0.50	34	0.117	1.8	2.69	
207	188286.36	418436.95	0.46	66	0.134	5.1	3.51	
208	188283.87	418433.67	0.54	46	0.109	4.4	3.51	
210	188270.30	418391.81	0.35	114	0.153	7.1	4.28	
213	188281.05	418423.56	0.44	106	0.258	2.7	4.89	
215	188287.24	418441.60	0.39	116	0.208	7.6	4.82	
219	188292.58	418458.31	0.53	190	0.497	27.6	5.57	
220	188288.77	418448.03	0.60	63	0.283	4.6	8.57	
239	188280.69	418426.70	0.27	33	0.034	1.8	1.36	
244	188289.34	418453.29	0.95	24	0.311	4.4	2.08	
256	188277.37	418422.42	0.40	27	0.035	1.3	0.68	
261	188291.40	418462.18	0.52	197	1.044	36.4	16.23	
262	188284.17	418443.86	0.55	76	0.307	7.0	5.39	
263	188282.87	418444.25	0.69	252	2.127	35.8	7.14	
265	188288.36	418454.45	0.91	46	0.474	15.6	7.86	
266	188281.91	418437.55	0.58	53	0.177	6.1	2.24	
267	188286.63	418452.33	0.53	344	1.500	10.6	14.66	
268	188280.08	418433.15	1.70	94	11.297	5.2	28.79	
269	188283.42	418446.99	0.28	188	0.219	83.5	7.40	
271	188285.15	418452.89	0.62	1078	3.746	87.8	25.46	
277	188275.32	418422.04	1.13	29	0.474	2.3	2.55	
286	188282.65	418447.09	0.33	247	0.236	35.6	3.61	
290	188281.30	418445.38	0.41	119	0.249	13.7	3.48	
293	188285.71	418460.21	0.67	233	0.877	32.4	13.30	
295	188283.04	418459.01	2.02	665	54.782	57.8	23.60	
298	188286.50	418463.89	4.81	343	580.569	35.2	34.90	
299	188276.57	418438.27	0.35	28	0.073	5.2	2.88	
301	188280.74	418448.60	0.55	180	0.696	37.7	10.67	
302	188257.88	418384.05	0.21	74	0.049	2.4	1.52	
312	188275.95	418440.19	0.19	99	0.048	6.2	2.07	
319	188277.03	418450.83	0.28	404	0.430	21.8	8.53	



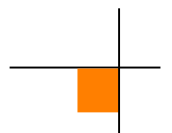
Nr.	Easting	Northing	Diepte	Max-Waarde	Magn. Moment	LSQ	Fit-Area	Opmerking
320	188271.65	418437.14	0.40	192	0.331	9.0	4.09	
329	188269.56	418435.62	0.35	34	0.056	2.4	2.03	
332	188261.96	418415.64	0.35	70	0.116	5.9	3.05	
344	188261.76	418425.39	0.41	190	0.403	12.3	5.35	
346	188256.52	418410.79	0.30	42	0.029	3.5	1.74	
347	188240.65	418366.18	0.38	81	0.151	4.3	4.99	
355	188252.94	418404.30	0.40	41	0.077	1.3	2.71	
356	188237.11	418360.56	0.29	30	0.034	2.6	1.43	
358	188260.48	418426.24	0.20	93	0.037	8.8	2.04	
362	188226.24	418331.01	0.50	69	0.252	4.6	5.26	
367	188249.03	418398.60	0.40	168	0.239	18.4	3.79	
369	188227.48	418340.89	0.33	84	0.119	5.0	3.06	
372	188244.56	418392.13	0.28	46	0.052	2.5	1.85	
374	188242.75	418387.01	0.27	163	0.121	8.9	2.47	
376	188219.00	418321.00	0.25	196	0.186	10.8	3.05	
378	188211.90	418301.57	0.41	216	0.480	29.2	4.22	
382	188215.58	418313.51	0.42	244	0.668	7.5	6.48	
394	188218.80	418328.06	0.78	66	0.341	9.1	3.30	
396	188209.53	418302.88	0.35	97	0.170	4.3	3.60	
401	188217.36	418325.15	0.20	503	0.602	26.1	5.75	
402	188238.10	418385.02	0.21	209	0.153	8.1	4.65	
405	188216.95	418328.58	0.27	55	0.030	12.5	1.85	
407	188215.37	418323.04	0.37	265	0.324	12.9	3.59	
409	188217.69	418325.83	0.52	1357	6.925	64.4	11.53	
414	188215.16	418327.16	0.60	547	2.739	25.1	6.92	
415	188197.17	418275.74	0.26	92	0.064	8.4	2.15	
416	188234.05	418381.07	0.30	51	0.054	2.4	2.17	
419	188235.75	418388.17	0.24	85	0.071	3.2	2.32	
422	188201.12	418291.67	0.39	64	0.089	4.8	2.97	
423	188239.56	418397.90	0.13	101	0.044	15.6	3.79	
425	188234.31	418386.64	0.87	28	0.266	2.4	2.23	
430	188201.33	418295.52	0.29	232	0.195	14.0	3.14	
438	188200.99	418294.96	0.22	100	0.078	15.5	2.63	
442	188211.61	418327.10	0.24	62	0.053	3.3	1.93	
443	188199.87	418293.74	0.50	64	0.160	8.3	3.43	
447	188198.81	418295.21	0.45	123	0.251	19.1	6.34	
448	188199.07	418296.40	0.51	63	0.151	10.6	3.88	
449	188199.89	418298.28	0.51	112	0.267	9.8	4.30	
455	188189.16	418272.14	0.24	51	0.033	5.4	1.82	
459	188188.90	418273.45	0.30	37	0.033	2.7	1.45	



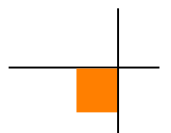
Nr.	Easting	Northing	Diepte	Max-Waarde	Magn. Moment	LSQ	Fit-Area	Opmerking
464	188195.99	418294.21	0.40	114	0.142	11.9	3.03	
468	188190.87	418281.75	0.57	62	0.201	3.9	3.82	
472	188195.71	418294.67	0.17	36	0.030	10.3	0.97	
474	188211.94	418341.77	0.83	26	0.192	2.8	1.79	
479	188175.44	418239.09	0.44	27	0.039	2.4	0.55	
480	188203.75	418320.62	0.27	40	0.045	3.6	2.51	
482	188167.09	418217.24	0.27	47	0.044	2.0	2.16	
485	188183.99	418265.40	1.01	32	0.427	3.5	3.14	
499	188172.96	418242.02	0.24	71	0.040	3.7	1.67	
502	188192.92	418297.66	0.25	93	0.042	4.1	2.77	
507	188175.88	418255.02	0.22	75	0.052	5.8	2.01	
508	188192.00	418301.34	0.28	177	0.158	19.4	3.32	
514	188191.51	418301.38	0.50	91	0.227	34.4	2.97	
518	188167.57	418233.58	0.54	36	0.077	1.7	1.44	
521	188175.80	418258.18	0.27	42	0.046	2.7	2.39	
530	188209.66	418355.42	0.40	25	0.054	3.5	1.99	
531	188210.49	418356.57	1.14	12	0.162	1.3	1.56	
535	188163.83	418226.75	0.27	183	0.174	8.6	3.23	
542	188146.43	418178.61	0.34	123	0.132	3.8	3.05	
546	188148.50	418185.75	0.36	129	0.225	10.7	8.02	
551	188150.87	418193.15	0.22	99	0.068	3.7	2.97	
558	188142.76	418171.29	0.50	70	0.257	4.3	3.99	
562	188198.96	418330.92	0.81	23	0.155	2.0	1.68	
564	188151.67	418197.40	0.65	20	0.077	2.0	1.38	
566	188148.68	418188.98	0.32	66	0.086	5.6	4.12	
567	188138.68	418160.32	0.40	32	0.051	1.3	1.70	
568	188132.81	418144.23	0.33	28	0.033	2.2	1.72	
569	188186.30	418295.53	0.31	83	0.092	2.3	3.03	
577	188134.97	418151.03	0.89	26	0.181	2.9	1.94	
579	188160.61	418219.15	0.28	310	0.377	13.7	8.32	
583	188193.82	418319.76	0.48	20	0.067	1.9	2.53	
585	188136.34	418157.72	0.36	70	0.080	3.6	1.89	
590	188133.61	418149.01	0.33	123	0.094	7.5	4.25	
596	188158.47	418220.54	0.45	90	0.377	35.9	13.86	
599	188132.29	418147.39	0.26	125	0.147	26.6	4.51	
603	188155.56	418215.00	0.17	735	0.350	17.7	4.61	
604	188150.61	418201.49	0.28	36	0.041	2.0	1.95	
606	188186.75	418303.70	0.49	119	0.216	5.7	5.84	
613	188133.18	418153.81	0.32	115	0.082	4.6	2.36	
614	188158.46	418224.55	0.23	114	0.062	4.3	3.23	



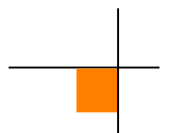
Nr.	Easting	Northing	Diepte	Max-Waarde	Magn. Moment	LSQ	Fit-Area	Opmerking
615	188149.53	418199.30	0.40	25	0.037	1.7	1.73	
616	188148.14	418194.62	0.30	139	0.102	6.5	4.12	
632	188154.42	418216.74	0.65	54	0.224	10.1	2.23	
634	188130.59	418148.61	0.37	221	0.377	12.1	5.39	
635	188185.71	418304.92	0.32	213	0.150	11.7	2.83	
638	188146.23	418193.78	0.25	58	0.031	2.8	2.01	
641	188124.28	418130.99	0.61	29	0.109	4.6	2.14	
644	188131.53	418152.73	0.31	298	0.218	14.1	7.08	
648	188129.11	418145.67	0.42	33	0.043	4.0	0.71	
653	188127.76	418141.85	0.36	57	0.065	3.3	2.99	
658	188154.33	418218.97	0.64	86	0.457	13.3	5.15	
666	188168.31	418259.33	0.26	41	0.040	2.5	1.94	
669	188131.06	418154.01	0.21	71	0.046	11.8	2.10	
674	188160.27	418237.12	0.23	219	0.152	8.7	2.30	
677	188129.50	418149.97	0.35	278	0.271	28.7	5.12	
683	188152.47	418216.06	0.38	140	0.173	11.0	3.93	
686	188128.59	418151.84	0.83	49	0.232	5.7	4.40	
688	188153.80	418219.44	0.37	51	0.109	10.3	3.93	
693	188143.09	418191.47	0.37	41	0.064	4.5	6.65	
699	188149.04	418209.66	0.42	53	0.079	5.0	2.55	
700	188137.66	418175.61	0.47	45	0.082	4.9	2.80	
711	188128.48	418150.42	0.20	77	0.042	7.8	2.88	
713	188152.03	418217.79	0.40	57	0.153	5.9	3.59	
720	188130.46	418157.18	0.38	169	0.242	11.2	4.02	
730	188132.23	418163.53	0.29	43	0.035	2.2	1.88	
733	188132.79	418166.10	0.47	21	0.056	1.4	1.84	
746	188128.98	418156.09	0.43	26	0.058	3.5	1.75	
747	188149.00	418216.64	0.42	200	0.317	29.3	5.03	
752	188125.86	418149.22	0.20	77	0.041	3.5	2.02	
754	188150.59	418219.50	0.37	250	0.508	7.4	5.77	
755	188127.18	418153.61	0.39	36	0.068	4.4	2.65	
762	188177.26	418296.06	0.44	61	0.142	6.1	6.87	
764	188149.43	418217.67	0.53	200	0.752	37.5	11.33	
774	188175.12	418291.76	0.27	27	0.038	4.3	5.27	
776	188147.16	418214.10	0.42	48	0.073	5.5	6.47	
777	188118.95	418134.51	0.32	33	0.035	3.7	3.71	
780	188132.20	418175.26	0.36	869	1.454	32.7	5.95	
785	188124.63	418152.18	0.32	77	0.051	2.9	0.72	
786	188120.03	418138.63	0.41	39	0.055	6.4	1.37	
792	188124.55	418154.69	0.34	31	0.033	6.1	1.97	



Nr.	Easting	Northing	Diepte	Max-Waarde	Magn. Moment	LSQ	Fit-Area	Opmerking
799	188162.67	418262.57	0.23	320	0.204	6.9	3.56	
802	188157.29	418250.66	0.32	580	0.393	23.3	5.26	
805	188146.40	418217.82	0.59	58	0.655	9.2	5.35	
812	188154.22	418242.13	0.30	58	0.049	4.9	1.30	
817	188168.01	418281.62	0.42	84	0.152	6.3	3.59	
823	188145.50	418220.16	0.62	70	0.457	4.5	6.15	
824	188133.82	418186.55	0.24	77	0.055	5.0	2.06	
827	188120.66	418148.94	0.34	95	0.064	3.5	4.39	
845	188118.67	418151.00	0.32	30	0.038	2.7	1.99	
848	188130.92	418187.43	0.38	54	0.064	5.2	3.79	
854	188161.17	418272.94	0.52	42	0.129	4.2	1.67	
867	188116.91	418150.71	0.35	122	0.179	4.8	3.51	
877	188131.02	418191.40	0.31	84	0.054	4.9	2.51	
894	188146.39	418239.17	0.38	39	0.054	1.8	1.67	
902	188120.28	418167.00	0.34	62	0.058	1.9	2.02	
905	188150.10	418251.60	0.36	97	0.079	3.0	0.59	
912	188140.38	418225.45	0.33	49	0.033	1.9	0.76	
915	188114.12	418151.61	0.35	32	0.048	4.6	1.60	
923	188128.16	418194.37	0.49	29	0.089	2.1	2.02	
924	188135.03	418214.35	0.36	175	0.232	8.1	5.14	
927	188137.03	418223.19	0.48	70	0.094	4.9	2.86	
934	188134.19	418216.14	0.32	57	0.072	5.8	2.84	
942	188125.32	418192.71	0.34	41	0.031	5.3	1.89	
945	188119.88	418177.30	0.46	1209	3.085	94.2	5.51	
946	188129.67	418204.42	0.35	34	0.054	5.6	2.39	
950	188122.18	418184.13	0.27	77	0.052	10.2	2.49	
951	188113.97	418160.93	0.30	35	0.040	3.5	1.67	
953	188109.03	418148.36	0.32	49	0.058	5.5	2.24	
954	188129.76	418207.22	0.40	81	0.189	4.8	4.22	
962	188135.29	418222.99	0.22	63	0.055	4.9	0.87	
963	188128.18	418204.33	0.34	35	0.051	5.2	1.39	
966	188126.61	418199.42	0.40	71	0.145	8.1	6.31	
972	188114.70	418166.62	0.55	21	0.049	1.7	0.99	
973	188113.67	418163.87	0.35	29	0.035	1.9	1.61	
974	188129.56	418209.67	0.36	23	0.030	2.1	1.66	
986	188115.98	418173.07	0.43	13	0.032	1.1	1.35	
991	188127.41	418205.73	0.23	77	0.049	5.5	1.67	
992	188126.61	418203.10	0.46	55	0.142	7.0	2.54	
995	188113.32	418167.69	0.40	17	0.036	1.4	1.50	
1002	188125.54	418201.94	0.38	20	0.038	5.9	6.79	



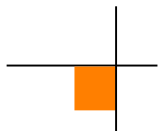
Nr.	Easting	Northing	Diepte	Max-Waarde	Magn. Moment	LSQ	Fit-Area	Opmerking
1005	188105.79	418147.03	0.42	67	0.166	3.8	4.08	
1009	188122.17	418194.51	0.28	189	0.150	12.9	2.23	
1011	188112.15	418166.68	0.35	18	0.029	1.3	1.32	
1015	188125.31	418204.55	0.48	62	0.158	3.9	1.37	
1040	188114.22	418180.22	0.62	26	0.081	2.3	0.92	
1048	188112.94	418178.46	0.45	36	0.053	5.2	1.78	
1050	188104.27	418155.26	0.29	52	0.052	3.0	1.93	
1056	188105.38	418159.62	0.53	20	0.079	7.7	1.94	
1057	188105.52	418159.69	0.48	28	0.064	6.2	1.75	
1070	188104.72	418159.05	0.95	29	0.388	7.5	2.06	
1083	188105.57	418161.81	0.27	58	0.050	5.2	2.72	
1084	188105.46	418161.59	0.40	58	0.059	8.2	2.84	
1085	188104.23	418158.41	0.48	29	0.095	3.3	2.97	
1090	188108.18	418169.62	0.44	24	0.036	6.2	1.27	
1091	188107.14	418167.72	0.67	23	0.110	4.1	2.02	
1092	188090.21	418121.53	0.21	217	0.164	11.3	8.88	
1102	188106.74	418165.87	0.79	17	0.138	3.2	3.50	
1108	188100.17	418147.94	0.34	90	0.132	13.2	1.78	
1114	188101.54	418152.71	0.83	20	0.117	4.4	1.52	
1116	188104.85	418162.74	0.82	12	0.145	5.4	1.91	
1126	188103.84	418158.53	0.63	26	0.121	6.9	2.80	
1134	188101.90	418155.34	1.15	14	0.184	6.2	2.43	
1135	188180.71	418302.07	0.47	2404	6.747	81.7	19.22	



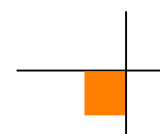
1556108 Fietsbrug Cuijk

Veld 3 Totaal

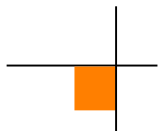
Nr.	Easting	Northing	Diepte	Max-Waarde	Magn. Moment	LSQ	Fit-Area
8	188070.06	417918.05	0.25	56	0.036	3.9	1.75
33	188069.59	417927.32	0.42	104	0.136	15.9	2.02
36	188071.04	417929.12	0.23	107	0.063	10.3	1.75
41	188074.55	417941.95	0.28	313	0.172	21.9	4.04
43	188073.51	417937.71	0.21	58	0.081	10.4	2.87
46	188066.07	417912.90	0.28	37	0.043	4.0	2.17
52	188073.43	417941.46	0.29	86	0.080	43.9	3.88
58	188069.68	417929.27	0.78	41	0.138	7.8	1.51
59	188068.63	417924.32	0.29	107	0.075	7.6	2.14
66	188070.54	417928.31	0.27	148	0.067	20.0	3.05
67	188072.01	417937.80	0.27	58	0.047	9.0	1.74
80	188066.47	417921.44	0.22	70	0.047	4.0	2.02
84	188061.59	417905.35	0.60	34	0.094	6.8	1.50
97	188074.20	417952.82	0.26	134	0.108	9.2	1.73
103	188068.93	417934.68	0.36	26	0.033	1.5	1.73
105	188074.87	417956.39	0.19	59	0.053	14.2	1.15
109	188075.10	417957.74	1.83	26	2.133	10.8	1.45
111	188061.94	417911.43	0.19	126	0.054	7.4	1.94
123	188072.14	417949.90	0.24	75	0.061	7.2	2.06
130	188074.81	417962.49	0.29	135	0.101	13.0	2.14
139	188073.43	417957.64	0.32	282	0.344	12.8	3.67
142	188057.69	417902.01	0.43	45	0.058	5.5	3.79
147	188056.21	417898.05	0.31	65	0.076	6.7	2.14
151	188057.44	417903.50	0.32	41	0.030	7.0	1.66
152	188055.40	417895.27	0.47	96	0.176	11.7	2.74
175	188054.14	417891.99	0.45	81	0.151	8.1	2.41
191	188053.48	417896.74	0.27	90	0.087	16.0	5.56
203	188072.54	417967.16	0.25	196	0.152	7.0	2.78
204	188052.22	417894.41	0.12	341	0.090	29.7	2.14
205	188050.94	417888.58	0.43	32	0.077	6.3	3.94
209	188048.57	417885.61	0.25	107	0.114	14.3	2.32
217	188049.49	417887.92	0.32	70	0.090	7.6	2.66
235	188051.12	417900.56	0.26	128	0.093	3.9	3.14
242	188073.67	417982.63	0.15	214	0.057	54.1	1.57
252	188049.04	417900.24	0.24	698	0.490	17.7	3.69
255	188070.98	417980.60	0.20	145	0.072	4.2	2.10
256	188072.72	417986.50	0.34	60	0.079	9.0	3.86
259	188070.88	417986.25	0.25	64	0.029	7.9	2.41



Nr.	Easting	Northing	Diepte	Max-Waarde	Magn. Moment	LSQ	Fit-Area
260	188056.79	417930.30	0.31	64	0.058	6.2	2.32
279	188072.67	417994.58	0.53	25	0.080	3.3	2.88
280	188072.26	417992.02	0.63	20	0.071	1.2	1.32
281	188071.00	417987.63	0.33	248	0.254	38.4	2.98
283	188043.30	417890.15	0.25	52	0.034	3.7	1.87
285	188044.58	417894.77	0.23	104	0.039	8.4	2.46
303	188072.95	418002.37	0.35	62	0.032	2.6	0.81
304	188063.10	417967.50	0.32	28	0.029	1.5	1.78
311	188061.36	417964.34	0.32	34	0.038	4.0	2.36
313	188069.90	417996.36	0.26	61	0.047	2.8	2.09
316	188058.95	417957.92	0.32	80	0.101	3.2	3.49
319	188068.99	417995.12	0.31	30	0.040	2.4	1.91
320	188065.59	417984.03	0.33	87	0.126	5.8	4.04
326	188039.40	417891.49	0.24	63	0.043	9.6	1.60
334	188039.80	417893.50	0.23	48	0.030	2.2	1.62
336	188037.52	417886.36	0.38	37	0.048	5.2	6.36
347	188039.00	417895.80	0.32	46	0.049	2.3	1.85
356	188068.42	418003.61	0.23	50	0.036	2.4	1.88
370	188063.69	417990.10	0.79	36	0.284	4.0	4.72
379	188052.02	417949.48	0.32	27	0.035	3.0	1.64
384	188033.72	417885.94	0.20	207	0.122	19.2	2.36
393	188067.02	418006.72	0.24	52	0.036	3.1	1.66
394	188066.43	418010.05	0.53	48	0.175	5.3	7.04
406	188061.66	417992.91	0.62	226	0.785	6.0	8.34
407	188054.79	417965.14	0.30	47	0.052	3.8	2.18
413	188069.23	418017.84	0.23	216	0.111	14.1	2.09
420	188070.71	418023.78	0.53	48	0.281	12.0	4.37
423	188068.08	418016.25	0.31	46	0.034	2.3	1.56
427	188056.75	417977.17	0.53	34	0.072	3.6	1.67
436	188069.57	418023.61	0.35	11	0.030	4.3	1.59
446	188070.96	418030.90	0.28	77	0.072	8.7	2.55
447	188070.31	418033.33	0.28	88	0.047	10.4	1.48
460	188043.63	417935.53	0.39	177	0.408	6.6	4.10
463	188077.38	418057.96	0.00	729	0.057	108.3	0.87
469	188077.01	418055.52	0.49	433	0.773	27.1	2.02
470	188068.07	418023.88	0.26	38	0.031	3.8	1.20
477	188072.78	418040.86	0.26	263	0.163	16.3	2.81
479	188071.53	418034.58	0.27	100	0.098	9.8	1.56
481	188068.42	418026.03	0.34	52	0.043	4.6	1.49
482	188073.47	418046.98	0.32	307	0.320	21.4	3.51



Nr.	Easting	Northing	Diepte	Max-Waarde	Magn. Moment	LSQ	Fit-Area
490	188074.02	418050.45	1.12	21	1.203	18.4	2.04
491	188058.94	417992.92	0.41	56	0.055	5.1	0.94
497	188068.72	418028.87	0.34	82	0.118	7.4	3.17
499	188069.69	418036.30	0.38	233	0.564	40.9	12.48
507	188074.40	418047.54	0.38	307	1.501	97.3	4.24
512	188073.75	418052.48	0.39	303	0.607	21.7	7.71
517	188026.62	417882.02	0.31	39	0.044	6.7	3.38
527	188073.96	418051.85	0.51	331	1.093	33.1	12.03
539	188066.21	418030.87	0.29	43	0.045	5.4	2.04
545	188067.94	418034.47	0.62	1591	5.834	44.6	9.79
546	188066.84	418028.93	0.55	38	0.090	10.5	3.17
551	188044.87	417951.48	0.40	42	0.075	3.3	2.93
552	188026.54	417886.86	0.30	205	0.285	20.0	1.43
561	188069.54	418040.55	0.25	123	0.098	38.1	12.55
562	188061.00	418011.23	0.29	98	0.098	8.3	2.09
566	188045.43	417954.34	0.35	39	0.042	5.4	6.09
568	188071.22	418047.38	0.38	1902	2.051	156.2	10.57
579	188070.59	418045.39	0.34	1120	1.003	182.2	39.76
584	188050.49	417975.31	0.29	102	0.111	5.8	3.83
587	188064.40	418027.48	0.30	1355	0.875	28.1	19.03
591	188048.00	417966.51	0.59	28	0.092	5.7	2.92
596	188065.62	418031.37	0.18	466	0.151	44.5	4.67
664	188065.98	418048.48	0.78	93	0.637	9.1	3.79
696	188066.34	418051.96	1.19	219	4.775	11.6	9.01
729	188062.57	417910.18	0.25	52	0.048	4.9	1.26
730	188042.15	417885.67	0.27	78	0.066	7.8	1.51



Nr.	Easting	Northing	Diepte	Max-Waarde	Magn. Moment	LSQ	Fit-Area	Opmerking
5	188051.19	417436.91	0.32	79	0.081	2.0	1.81	
6	188049.20	417426.83	0.17	134	0.036	5.9	1.87	
7	188049.06	417436.76	0.16	83	0.033	4.7	1.43	
43	188035.58	417431.15	0.38	1436	1.324	88.8	5.87	
59	188034.61	417446.63	0.17	183	0.070	9.3	1.59	
79	188033.89	417452.10	0.35	40	0.043	3.3	2.42	
120	188034.42	417472.62	0.38	84	0.116	3.3	3.50	
186	188034.31	417509.11	0.24	47	0.037	2.9	1.75	
187	188026.50	417460.86	0.44	99	0.323	3.7	5.14	
193	188026.82	417471.93	0.62	57	0.160	3.2	3.76	
196	188033.79	417516.56	0.27	200	0.084	8.8	2.89	
198	188029.75	417489.23	0.28	51	0.032	5.5	0.82	
210	188026.92	417479.63	0.21	74	0.032	5.9	1.66	
211	188029.98	417501.16	0.16	180	0.043	10.6	2.27	
212	188035.08	417533.83	0.43	30	0.053	3.3	1.62	
243	188033.28	417540.28	0.31	31	0.032	2.9	1.60	
262	188034.99	417564.56	0.31	86	0.075	1.9	1.36	
264	188032.01	417546.63	0.22	42	0.031	5.0	1.55	
273	188030.12	417539.22	0.26	283	0.202	6.5	3.41	
281	188024.55	417513.89	0.32	197	0.175	6.3	3.58	
297	188030.42	417564.88	0.41	61	0.102	3.1	2.55	
304	188020.98	417514.85	0.36	28	0.037	3.6	1.89	
307	188022.83	417526.50	0.19	350	0.184	17.5	2.39	
311	188028.75	417565.70	0.29	78	0.059	2.9	2.47	
317	188022.41	417533.53	0.23	386	0.168	7.7	2.78	
321	188031.68	417594.08	0.21	81	0.037	6.9	1.93	
334	188022.15	417545.52	0.15	286	0.051	32.4	3.35	
341	188028.09	417583.02	0.41	15	0.032	1.9	1.00	
347	188031.09	417608.93	0.32	35	0.042	3.2	1.60	
348	188027.61	417587.88	0.30	50	0.042	3.9	2.23	
355	188019.08	417537.66	0.37	36	0.064	3.6	2.79	
370	188023.11	417578.75	0.45	19	0.047	1.5	2.09	
372	188017.41	417541.30	0.17	519	0.245	14.5	9.74	
377	188021.46	417574.56	0.35	19	0.034	2.3	1.56	
398	188029.23	417651.53	0.30	48	0.044	3.4	2.01	
414	188022.30	417628.64	0.24	349	0.255	14.2	4.02	
418	188023.28	417636.43	0.24	86	0.046	4.2	1.93	
420	188020.28	417618.71	0.26	103	0.052	6.1	1.30	



Nr.	Easting	Northing	Diepte	Max-Waarde	Magn. Moment	LSQ	Fit-Area	Opmerking
422	188028.35	417671.25	0.31	28	0.042	1.6	1.78	
423	188028.43	417673.98	0.20	150	0.096	10.5	2.14	
427	188023.96	417646.79	0.34	32	0.043	2.7	1.89	
441	188031.54	417705.70	0.28	68	0.041	2.9	1.43	
447	188015.35	417612.50	0.30	34	0.034	7.0	3.27	
449	188014.93	417609.59	0.37	500	0.874	28.6	14.63	
451	188019.69	417642.87	0.26	55	0.052	3.0	1.78	
453	188015.52	417618.36	0.26	146	0.121	8.2	18.87	
455	188044.09	417798.10	0.28	317	0.183	6.3	2.71	
458	188030.10	417714.72	0.22	104	0.058	3.4	2.66	
475	188038.28	417781.04	0.39	65	0.062	4.3	2.24	
488	188028.81	417731.48	0.29	66	0.058	4.6	2.20	
495	188036.61	417782.98	0.44	26	0.056	1.5	1.64	
506	188017.15	417673.09	0.18	223	0.084	8.2	1.93	
525	188035.03	417802.71	0.54	23	0.048	1.1	0.72	
526	188026.66	417754.61	0.41	74	0.166	4.2	3.25	
531	188024.08	417740.86	0.19	84	0.039	7.3	2.02	
533	188031.02	417786.32	0.46	36	0.076	4.7	2.09	
542	188013.49	417678.91	0.49	31	0.068	2.6	1.75	
558	188024.16	417756.07	0.50	35	0.072	3.8	2.24	
568	188019.61	417732.50	0.50	151	0.351	4.7	5.16	
571	188020.78	417737.66	0.29	50	0.058	2.2	1.81	
589	188038.01	417853.06	0.32	53	0.063	1.8	2.39	
591	188036.20	417843.18	0.17	357	0.151	15.1	2.24	
610	188031.61	417823.41	0.36	28	0.046	1.7	2.17	
615	188027.32	417798.35	0.36	25	0.030	1.6	1.45	
617	188020.33	417755.87	0.32	236	0.243	15.5	7.95	
623	188037.27	417865.19	0.36	213	0.280	10.2	10.14	
643	188029.42	417828.55	0.35	317	0.509	13.2	3.95	
651	188014.87	417749.16	3.22	106	24.676	15.6	13.58	
652	188020.07	417773.20	1.89	54	4.112	9.9	10.19	
657	188023.43	417800.47	0.30	85	0.065	10.5	2.23	
682	188015.09	417591.84	0.24	90	0.049	4.1	1.30	
683	188016.45	417751.88	0.49	34	0.066	4.9	1.24	
684	188018.61	417755.36	0.44	79	0.203	5.5	2.84	
685	188017.47	417632.79	0.31	48	0.039	3.7	1.74	
686	188012.80	417628.85	0.24	91	0.048	5.4	2.00	
687	188038.77	417836.57	1.06	109	1.501	9.5	3.35	

